

(19) 日本国特許庁(JP)

(12) 公開特許公報(A)

(11) 特許出願公開番号
特開2010-221395
(P2010-221395A)

(43) 公開日 平成22年10月7日(2010.10.7)

(51) Int. Cl.
B25J 5/00 (2006.01)

F I
B25J 5/00
B25J 5/00

テーマコード (参考)
3C007
E
F

審査請求 未請求 請求項の数 20 O L 外国語出願 (全 32 頁)

(21) 出願番号	特願2010-68909 (P2010-68909)	(71) 出願人	504399716
(22) 出願日	平成22年3月24日 (2010.3.24)		ディズニー エンタープライゼス インコーポレイテッド
(31) 優先権主張番号	61/162,838		アメリカ合衆国 カリフォルニア州 91521 バーバンク サウス プエナ ヴィスタ ストリート 500
(32) 優先日	平成21年3月24日 (2009.3.24)	(74) 代理人	100147485
(33) 優先権主張国	米国 (US)		弁理士 杉村 憲司
		(74) 代理人	100143568
			弁理士 英 貢
		(74) 代理人	100161148
			弁理士 福尾 誠

最終頁に続く

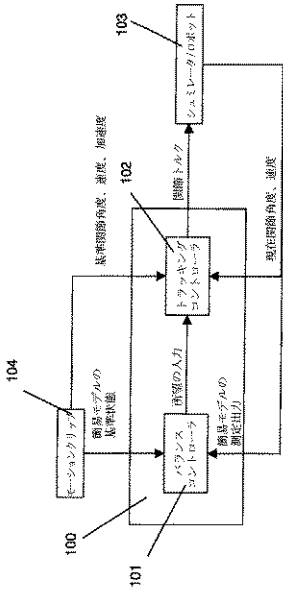
(54) 【発明の名称】 モーションキャプチャデータを模倣するロボットの追跡及びバランス維持システム及び方法

(57) 【要約】 (修正有)

【課題】モーションキャプチャデータに基き、自然な動作(例えば人間のような動作)を実行するロボットを提供すること。

【解決手段】コントローラ100を、バランス制御信号を供給するように構成されたバランスコントローラ101と、前記バランス制御信号に従ってバランスを維持しながら入力基準動作を追跡するように設定された動作命令を生成するように構成されたトラッキングコントローラ102とを備え、ロボットの複数の関節の各々が前記動作命令を使用でき、前記基準動作の追跡及びバランスの維持をもたらす構成とした。

【選択図】図1



【特許請求の範囲】**【請求項 1】**

機械的な人工エージェントであって、
複数の関節を介して結合された複数の可動部と、
前記複数の可動部の動作を制御するように構成されたコントローラと、
を備え、前記コントローラは、
バランス制御信号を供給するように構成されたバランスコントローラと、
前記バランス制御信号に従ってバランスを維持しながら入力基準動作を追跡するように
設定された動作命令を生成するように構成されたトラッキングコントローラとを備え、
前記複数の関節の各々が前記動作命令を使用でき、前記基準動作の追跡及びバランスの
維持をもたらす、機械的な人工エージェント。

10

【請求項 2】

前記動作命令は関節トルクを含む、請求項 1 記載の機械的な人工エージェント。

【請求項 3】

前記機械的な人工エージェントはヒューマノイドロボットである、請求項 1 記載の機械
的な人工エージェント。

【請求項 4】

前記複数の可動部は 1 つ以上の可動下半身部分を有する本体部分を備え、前記バランス
制御信号は全身バランスモデルと整合している、請求項 3 記載の機械的な人工エージェン
ト。

20

【請求項 5】

前記基準動作はモーションキャプチャシステムから得られる 1 つ以上のデータ入力を更
に含む、請求項 1 記載の機械的な人工エージェント。

【請求項 6】

前記基準動作は 1 つ以上の足踏み動作を更に含む、請求項 5 記載の機械的な人工エージェ
ント。

【請求項 7】

前記コントローラは、
運動学的マッピングモジュールと、
動力学的マッピングモジュールとを更に備える、請求項 4 記載の機械的な人工エージェ
ント。

30

【請求項 8】

前記運動学的マッピングモジュールは、前記機械的な人工エージェントの 1 つ以上の現
在接触位置を用いて、1 つ以上の接触位置と前記機械的な人工エージェントの本体との間
の運動学的関係が前記基準動作を追跡するように、1 つ以上の体幹軌道及び 1 つ以上の関
節軌道を修正するように構成されている、請求項 7 記載の機械的な人工エージェント。

【請求項 9】

前記動力学的マッピングモジュールは、前記基準動作を追跡しながら圧力中心を前記機
械的な人工エージェントの接触凸包内に維持するように前記機械的な人工エージェントの
基準重心を修正するように構成されている、請求項 7 記載の機械的な人工エージェント。

40

【請求項 10】

基準動作に対応する入力データを受信するステップと、
複数の関節で結合された複数の可動部を有する機械的な人工エージェントのトラッキン
グコントローラにバランス制御信号を供給するステップと、
前記トラッキングコントローラによって、バランスを維持しながら入力基準動作を追跡
するように設定された動作命令を含むトラッキング制御信号を供給するステップとを備え
、

前記複数の関節の各々が前記動作命令を使用でき、前記基準動作の追跡及びバランスの
維持をもたらす、方法。

【請求項 11】

50

前記動作命令は関節トルクを含む、請求項 10 記載の方法。

【請求項 12】

前記機械的な人工エージェントはヒューマノイドロボットである、請求項 10 記載の方法。

【請求項 13】

前記複数の可動部は 1 つ以上の可動下半身部分を有する本体部分を備え、前記バランス制御信号は全身バランスモデルと整合している、請求項 12 記載の方法。

【請求項 14】

前記基準動作はモーションキャプチャシステムから得られる 1 つ以上のデータ入力を更に含む、請求項 10 記載の方法。

【請求項 15】

前記基準動作は 1 つ以上の足踏み動作を更に含む、請求項 14 記載の方法。

【請求項 16】

運動学的マッピングモジュール及び動力学的マッピングモジュールを用いて前記基準動作に対応する入力データを前処理するステップを更に備える、請求項 10 記載の方法。

【請求項 17】

前記運動学的マッピングモジュールを用いて、1 つ以上の接触位置と前記機械的な人工エージェントの本体との間の運動学的関係が前記基準動作を追跡するように 1 つ以上の体幹軌道及び 1 つ以上の関節軌道を修正するステップを更に備える、請求項 16 記載の方法。

【請求項 18】

前記動力学的マッピングモジュールを用いて、前記基準動作を追跡しながら圧力中心を前記機械的な人工エージェントの接触凸包内に維持するように前記機械的な人工エージェントの基準重心を修正するステップを更に備える、請求項 16 記載の方法。

【請求項 19】

1 つ以上のプロセッサと、

複数の関節で結合された複数の可動部を有する機械的な人工エージェントの動作を制御するように構成された、前記 1 つ以上のプロセッサにより実行可能なコンピュータ読み取り可能なプログラムコードを有するプログラム記憶装置とを備え、該プログラム記憶装置は、

バランス制御信号を供給するように設定されたコンピュータ読み取り可能なプログラムコードと、

バランスを維持しながら入力基準動作を追跡するように設定された動作命令を生成するように構成されたコンピュータ読み取り可能なプログラムコードとを含み、

前記複数の関節の各々が前記動作命令を使用でき、前記基準動作の追跡及びバランスの維持をもたらす、装置。

【請求項 20】

複数の関節で結合された複数の可動部を有する機械的な人工エージェントの動作を制御するように構成された、1 つ以上のプロセッサにより実行可能なコンピュータ読み取り可能なプログラムコードを有するプログラム記憶装置を備え、該プログラム記憶装置は、

バランス制御信号を供給するように設定されたコンピュータ読み取り可能なプログラムコードと、

バランスを維持しながら入力基準動作を追跡するように設定された動作命令を生成するように構成されたコンピュータ読み取り可能なプログラムコードとを含み、

前記複数の関節の各々が前記動作命令を使用でき、前記基準動作の追跡及びバランスの維持をもたらす、コンピュータプログラムプロダクト。

【発明の詳細な説明】

【技術分野】

【0001】

本願は、2009 年 3 月 24 日に出願された「Simultaneous Tracking and Balancing

10

20

30

40

50

of Humanoid Robot for Imitating Human Motion」という名称の米国特許出願番号第 6 1 / 1 6 2 , 8 3 8 号の優先権を主張するものであり、その全内容は参照することによりここに組み込まれる。

【背景技術】

【0002】

特に自然な動作（例えば人間のような動作）を実行するようにロボットをプログラミングすることは難しい作業である。動作は、動力学的制約及び運動学的制約の両方又はいずれかの下で例えばエネルギー消費を最小にするために通常手作業で又は多くの数値最適化技術によりプログラムされている。モーションキャプチャデータは潜在的に良好な出発点であるが、モーションキャプチャデータの従来の使用法はここで熟慮されるようにロボットを追跡しバランスさせるには不十分である。

10

【発明の概要】

【0003】

本発明の実施例は、仮想的又は機械的な人工エージェント（ここでは「ロボット」、例えばヒューマノイド(人型)ロボットという)のための制御フレームワークを提供するシステム、方法、装置及びコンピュータを広く含む。この制御フレームワークは、動作を追跡しバランスを維持するために基準動作データ（例えばモーションキャプチャデータ又はアニメーションデータ）とすべての関節を同時に用いている。本発明の一実施例によるコンピュータはバランスコントローラとトラッキングコントローラの2つの主要なコンポーネントを含む。本発明の一実施例では、バランスコントローラは、ロボットの現在状態に基づいてバランスを維持するための所望の入力を得られるために簡易人型モデルに対して設計されたレギュレータを用いる。簡易モデルは、例えば最適制御を用いてレギュレータを体系的に設計できるように選択される。一例として、倒立振子モデルに対して設計された線形二次レギュレータを用いることができる。所望の入力は典型的にはいくつかの代表的な関節の圧力中心及び/又はトルクである。本発明の一実施例では、このときトラッキングコントローラは、全身動力学を考慮して、モーションキャプチャデータを追跡するために所望の入力からの差のみならず所望の関節加速度からの誤差を最小にする関節トルクを計算する。

20

【0004】

要するに、本発明の一つの態様は、複数の関節を介して結合された複数の可動部分と、前記複数の可動部分の動作を制御するように構成されたコントローラとを備え、前記コントローラはバランス制御信号を供給するように構成されたバランスコントローラと、バランス制御信号に基づいてバランスを維持しながら入力基準動作を追跡するように設定された動作命令を生成するように構成されたトラッキングコントローラとを備え、前記複数の関節の各々が前記動作命令を使用でき、基準動作の追跡とバランスの維持をもたらす、機械的人工エージェントを提供する。

30

【0005】

本発明の別の態様は、基準動作に対応する入力データを受信するステップと、複数の関節を介して結合された複数の可動部分を有する機械的人工エージェントのトラッキングコントローラにバランス制御信号を供給するステップと、前記バランス制御信号に基づいてバランスを維持しながら入力基準動作を追跡するように設定された動作命令を含むトラッキング制御信号を前記トラッキングコントローラによって供給するステップとを備え、前記複数の関節の各々が前記動作命令を使用でき、基準動作の追跡とバランスの維持をもたらす、方法を提供する。

40

【0006】

本発明の他の態様は、一つ以上のプロセッサと、複数の関節を介して結合された複数の可動部分を有する機械的人工エージェントの動作を制御するように構成されたコンピュータ読み取り可能なプログラムコードを有するプログラム記憶装置とを備え、前記コンピュータ読み取り可能なプログラムコードは、前記一つ以上のプロセッサにより実行可能であって、バランス制御信号を供給するように設定されたコンピュータ読み取り可能なコード

50

と、バランス制御信号に基づいてバランスを維持しながら入力基準動作を追跡するように設定された動作命令を生成するように構成されたコンピュータ読み取り可能なプログラムコードとを備え、前記複数の関節の各々が前記動作命令を使用でき、基準動作の追跡とバランスの維持をもたらす、装置を提供する。

【 0 0 0 7 】

本発明の更に他の態様は、複数の関節を介して結合された複数の可動部分を有する機械的人工エージェントの動作を制御するように構成されたコンピュータ読み取り可能なプログラムコードを有するプログラム記憶装置を備え、前記コンピュータ読み取り可能なプログラムコードは、一つ以上のプロセッサにより実行可能であって、バランス制御信号を供給するように設定されたコンピュータ読み取り可能なコードと、バランス制御信号に基づいてバランスを維持しながら入力基準動作を追跡するように設定された動作命令を生成するように構成されたコンピュータ読み取り可能なプログラムコードとを備え、前記複数の関節の各々が前記動作命令を使用でき、基準動作の追跡とバランスの維持をもたらす、コンピュータプログラムプロダクトを提供する。

【 0 0 0 8 】

本発明の他の特徴及び更なる特徴及び利点と一緒に、本発明の模範的な実施例のよりよい理解のために、添付図面と関連して記載する以下の説明を参照されたい。本発明の範囲は添付の請求項に特定されている。

【図面の簡単な説明】

【 0 0 0 9 】

【図 1】本発明の一実施例によるモーションコントローラを示す。

【図 2】本発明の一実施例によるバランスコントローラを示す。

【図 3】本発明の一実施例によるバランスコントローラのための倒立振子モデルを示す。

【図 4】本発明の一実施例によるトラッキングコントローラを示す。

【図 5】COM 制御のみによる簡単なバランス制御中（破線）及び本発明の一実施例にコントローラによるバランス制御中（実践）の前面方向の重心（COG）を示す。

【図 6】本発明の一実施例によるコントローラによる簡単なバランス制御中の前面方向の圧力中心（COP）を示す。

【図 7】本発明の一実施例によるCOM 制御のみによる簡単なバランス制御中の前面方向のCOP 位置を示す。

【図 8】本発明の一実施例によるトラッキング及びバランス制御を示す。

【図 9】本発明の一実施例によるモーションコントローラを示す。

【図 10】図 10 (a c) は足持ち上げの例を示し、(a) COM オフセットなしは転倒すること、(b) 十分な足持ち上げは適量のCOM オフセットを必要とすること、(c) 大きすぎるオフセットも足持ち上げ後に転倒することを示す。

【図 11】本発明の一実施例による胴体位置及び向きの平行移動、回転及びスケーリングと関連するパラメータを示す。

【図 12】本発明の一実施例による修正位置を得る態様を示す。

【図 13】本発明の一実施例による右足持ち上げに対するCOM 及びCOP 軌道を示す。

【図 14】本発明の一実施例によるコンピュータシステムを示す。

【発明を実施するための形態】

【 0 0 1 0 】

本発明の実施例のコンポーネントは、図面に一般的に記載され示されるように、記載の実施例に加えて、様々な異なる構成に配置し設計することができることは容易に理解されよう。従って、図面に示される本発明の実施例の以下の詳細な説明は請求の範囲で請求される本発明の範囲を限定する意図はなく、本発明の模範的な実施例を例示しているにすぎない。

【 0 0 1 1 】

本明細書を通して、「一実施例」又は「ある実施例」（又は同類の表現）への言及は、実施例と関連して記載する特定の特徴、構造又は特性が本発明の少なくとも一つの実施例

10

20

30

40

50

に含まれることを意味する。従って、明細書中の種々の箇所における「一実施例」、「ある実施例」（又は同類の表現は必ずしもすべて同じ実施例に関連するとは限らない。

【0012】

更に、記載する特徴、構造又は特性は一つ以上の実施例において任意に適切に組み合わせることができる。以下の説明において、本発明の実施例の全体理解を与えるために多くの特定の詳細な記述が与えられる。しかし、当業者は、本発明の種々の実施例は一つ以上の詳細な記述がなくても、他の方法、コンポーネント、材料などを用いて実施することができることが認識されよう。更に、本発明の特徴が不明瞭になるのを避けるために周知の構造、材料又は動作の図示や詳細な説明は省略されている。

【0013】

本発明の図示の実施例は図面を参照することにより最もよく理解されよう。以下の説明は例示であって、本発明のいくつかの模範的な実施例を示しているだけである。

【0014】

図面に関しては、図のフローチャート及び/又はブロック図は、本発明の種々の実施例によるシステム、方法及びコンピュータプログラムプロダクトの可能な実施のアーキテクチャ、機能及び動作を示す。この点で、フローチャート又はブロック図内の各ブロックはモジュール、セグメント又は指定の論理機能を実行する一つ以上の実行可能な命令を含むコードの一部とすることができる。また、いくつかの代替実施例においては、ブロックに示す機能は図に示される順序と異なる順序で起こり得る点に注意されたい。例えば、順に示される2つのブロックは実際にはほぼ同時に実行されることもあり、またこれらのブロックは関連する機能に応じて逆の順序で実行されることもある。また、ブロック図及び/又はフローチャートの各ブロック及びブロック図及び/又はフローチャートのブロックの組み合わせは、指定の機能又は動作を実行する専用ハードウェアシステム又は専用ハードウェアとコンピュータ命令の組み合わせで実現できる点に注意されたい。

【0015】

本明細書に与えられる説明はヒューマノイドロボット及びヒューマンモーションキャプチャに重点を置くが、特許請求する本発明はこれに限定されない点に注意されたい。本発明の実施例は他のタイプの仮想又は機械的人工エージェント、ロボット及び/又は入力データ源に等しく適用可能である。

【0016】

本発明者は、特に自然な人間の動作を実行するようにロボットをプログラミングすることは難しい作業であることを認識した。ヒューマノイドロボットは、動力学制約及び運動学的制約の何れかの下で例えばエネルギー消費を最小にするために通常手作業で又は多くの最適化技術によりプログラムされている。モーションキャプチャデータは潜在的に良好な出発点であるが、運動学及び動力学パラメータの差のためにキャプチャデータを人型ロボットにマップすることは困難である。實際上、ヒューマンモーションキャプチャデータを他のヒューマノイドモデルにマッピングする殆どの作業は全身動力学が通常考慮されないグラフィックス分野で行われている。

【0017】

現在のヒューマノイドロボットの成功例の殆どは、最初にフットプリントに基づいて圧力中心(COP、ゼロモーメントとしても知られている)軌道を決定し、倒立振子のような簡易動力学モデルを用いて物理的に整合した重心(COG)軌道を生成し、次に計画されたCOGの軌道及びフットプリントを満足する関節角度を得るために逆運動学(インバースキネマティクス)を計算することによってプログラムされる。ある研究もバランスングのために倒立振子を用いている。これらのフレームワークは、基準動作が物理的に整合することが保証されるために成功しているが、一般にモーションキャプチャデータを追跡することはできない。それは、計画された軌道の上に基準関節軌道を付加することは物理的整合性を壊す可能性があるためである。

【0018】

ヒューマンモーションキャプチャデータをヒューマノイドロボットに供給することは最

10

20

30

40

50

近の研究の成長分野であるが、これらのアプローチの殆どはフローティングベースを備えるリアルハードウェアを首尾よく制御してない。殆どの研究はヒューマン動作をヒューマノイドロボットに僅かな自由度でマッピングし、ヒューマン動作をヒューマノイド動作の合成のために種々の動作に分類することに集中している。従来の研究は、キャプチャした上半身の動作を関節角度及び速度限界などの運動学的制約を考慮してヒューマノイドロボットに適應させていた。モーションキャプチャデータシーケンスをフリーフローティングヒューマノイドの全身動力的制約を満足するように変化させることがロボット工学及びグラフィック工学において取り組まれているが、これらの努力はプランニングに集中しており、妨害下におけるバランス回復の問題に取り組んでいない。

【 0 0 1 9 】

10

実際には、ヒューマンモーションキャプチャデータに基づいてヒューマノイドハードウェアを制御することに成功した研究はほとんどない。一つの従来の研究は、ヒューマン動作データを種々のタスクに手作業でセグメント化し、各タスクのためのコントローラを構成することによってロボットダンス動作を実現している。別の従来の研究は、逆運動学計算中に基準関節軌道を尊重しながら C O G 軌道を倒立振子モデルに基づいて最適化することによって物理的に整合した動作を生成する方法を提案している。しかし、両アプローチともコントローラを設計するため又はキャプチャデータを前処理するために手作業を必要とする。

【 0 0 2 0 】

20

ある研究は全身シミュレーション及びハードウェアの二重サポート中に上半身のオンライントラッキングを実現している。しかし、この研究は下半身をバランシング専用を使用するため、脚動作のトラッキングがバランシングタスクと競合し、脚動作を完全には追跡できない。

【 0 0 2 1 】

ここで説明は図面に戻り、本発明の実施例を選択する。本発明の種々の実施例の以下の説明は本発明のいくつかの態様を強調するために提示され、本発明の範囲は添付の特許請求の範囲で特定される。

【 0 0 2 2 】

30

本発明の一つ以上の実施例は、すべての関節を同時に使用して対象のモーションキャプチャデータを追跡するヒューマノイドロボット用の制御フレームワークを提供する。本発明の実施例は関節角度の軌道を追跡することに重点的に取り組むが、いくつかのタスクはエンドエフェクタの軌道のような他の量を追跡することを要求し得る。本発明の一つの実施例によれば、コントローラは二重サポートにて働くが、バランシングタスクは上半身の関節も含むすべての関節に分散される。更に、コントローラはモーションキャプチャデータのセグメント化又は集中的な前処理を必要とせず、リアルタイムアプリケーションに適用可能である。更に、本発明の別の実施例によれば、足踏みやもっと複雑な動作が可能である。

【 0 0 2 3 】

40

本発明の一実施例によれば、コントローラはバランスコントローラとトラッキングコントローラの2つのコンポーネントを備える。バランスコントローラは、ロバストなバランスコントローラの設計が容易にできる簡易モデルを用いることによって全身をバランスした状態に維持するように試みる。代表的な非限定例は線形二次レギュレータ (L Q R) を備える倒立振子であり、ここに提示される非限定模範実施例に使用される。バランスコントローラは簡易モデルをバランスした状態に維持するために所望の入力を与える。このような入力の例は圧力中心 (C O P) 及び代表的な関節のトルクを含む。

【 0 0 2 4 】

本発明のいくつかの実施例によれば、トラッキングコントローラは、バランスコントローラにより与えられる所望の入力を尊重しながら、関節がモーションキャプチャデータにより指定される基準軌道を辿るようにする。関節軌道トラッキングは、関節角度及び速度に基づいて所望の関節加速度及びフィードフォワード関節加速度を命令することによって

50

可能になる。次にトラッキングコントローラは、所望の入力及び関節加速度からの誤差を含む二次コスト関数を用いて最適化問題を解く。

【0025】

本明細書において、関節速度及びトルク限界を考慮に入れる全身動学的シミュレーションによってコントローラのバランス及び追跡能力が証明される。基本的なバランス能力を示した後に、非限定的な代表的使用例が与えられる。この使用例では本発明の一実施例によるコントローラが同じストーリーを話している2人の対象のモーションキャプチャクリップを追跡するのに適用される。本明細書に示されるように、得られるロボット動作は各対象の元のスタイルを明確に保つ。本発明の実施例のロバスト性もシミュレーションモデルの慣性パラメータを乱すことによって証明される。その後、足踏み及びもっと複雑な動作の追加も記載される。

10

【0026】

コントローラ

【0027】

図1は本発明の一実施例によるコントローラ100の概略図を示す。2つの主なコンポーネントはバランスコントローラ101とトラッキングコントローラ102である。バランスコントローラ101は、簡易動学的モデルに対して設計されたコントローラ、例えば線形倒立振子モデルに対するLQRを用いて全身をバランスした状態に維持しなければならない。バランスコントローラ101の出力は簡易モデルへの所望の入力、例えば圧力中心及び/又は代表的な関節のトルクである。トラッキングコントローラ102はすべての関節を所望の軌道に追従させなければならない。トラッキングコントローラ102は関節トラッキングと簡易モデルへの所望の入力の両方を尊重する最適化問題を解き、ロボット103へ命令すべき関節トルクを得る。

20

【0028】

モーションキャプチャデータ処理

【0029】

この説明のために、典型的には直交座標空間内の一組のマーカー軌道を含む基準動作データ(例えばモーションクリップ104)を得るために市販の光学モーションキャプチャシステムを用いるものと仮定する。マーカーデータは通常のモーションキャプチャパイプライン内でラベル付けされ、クリーニングされる。次にデータは特定のロボット(103)のサイズに合うようにスケーリングされ、関節動作範囲を考慮して逆運動学アルゴリズムによりロボット103のための関節角度データに変換される。関節限界及び対象とロボット103との運動学の差のために、関節角度データは通常、接触点におけるフットスケーティングのような問題を有する。

30

【0030】

前処理のために、ここでは、本例は最初のフレームにおいて両足が床の上に平らに着いているものと仮定する。正しい足位置及び向きは、生のマーカーデータを用いて得られる足位置及び向きを床面に投影することによって推定される。(足踏み及び他の複雑な動作を含む実施例が以下に記載される)。次に、クリーニングされた関節角度を得るとともに元の関節角度からの差を保持するために新しい足位置に対する逆運動学が計算される。制御中の各フレームにおいて、クリーニングされた関節角度を得るためにこの差が元のデータに付加される。この補正はきわめて簡単であるが、本発明のこの模範的な実施例によるコントローラが更なるクリーンアップを必要としないようにできる。

40

【0031】

記号の説明と基本方程式

【0032】

N_j はロボットの駆動される関節の数を示す。この場合、ロボットの総合自由度 (DOF) は、根関節の平行移動及び回転の 6 DOF を含めて、 $N_G = N_j + 6$

である。ロボットコンフィギュレーションは一般化座標 $q \in \mathcal{R}^{N_G}$ により一意に規定され、その最初の 6 成分は根関節に対応する。一般化力は $t_G \in \hat{A}^{N_G}$ により示される。

【 0 0 3 3 】

10

ヒューマノイドロボットは通常、そのリンクのいくつかが外界と接触して動く。 N_c は接触するリンクの数を示すものとする。 i 番の接触リンクの線速度及び角速度は 6 次元ベクトル \dot{r}_{ci} により表される。一般化速度 \dot{q} 及び \dot{r}_{ci} の関係は、

$$\dot{r}_{ci} = J_{ci} \dot{q} \quad (1)$$

として表される。ここで、 $J_{ci} \in \hat{A}^{6 \times N_G}$ は、一般化座標に対する i 番接触リンクの位置及び向きのヤコビアン行列である。方程式 (1) を微分すると、加速度の関係が得られる。

$$\ddot{r}_{ci} = J_{ci} \ddot{q} + \dot{J}_{ci} \dot{q}. \quad (2)$$

合成接触ヤコビアンマ行列 J_c は、

$$J_c = \begin{pmatrix} J_{c1} \\ J_{c2} \\ \vdots \\ J_{cN_c} \end{pmatrix} \in \mathcal{R}^{6N_c \times N_G}. \quad (3)$$

により定義される。

【 0 0 3 4 】

根関節は駆動されないため、関節トルクベクトル $t_j \in \hat{A}^{N_j}$ のみが制御される。更に、外界と接触する N_c 個のリンクの各々は接触力 f_{ci} 及びリンクローカルフレーム周囲のモーメント n_{ci} ($i=1, 2, \dots, N_c$) を受ける。合成接触力／

モーメントは、 $f_c = (f_{c1}^T \ n_{c1}^T \ \dots \ f_{cN_c}^T \ n_{cN_c}^T)^T \in \hat{A}^{6N_c}$ で定義される。

【 0 0 3 5 】

ロボットの動作の方程式は、

$$M\ddot{q} + c = N^T t_J + J_c^T f_c \quad (4)$$

として表わされる。ここで、 $M \in \hat{A}^{N_G \times N_G}$ は関節一空間慣性行列であり、

$c \in \hat{A}^{N_G}$ はコリオリ力、遠心力及び重力の和である。行列 $N \in \hat{A}^{N_J \times N_G}$

は関節トルクを一般化力にマップするために使用され、次の形を有する。

$$N = (0_{N_J \times 6} \quad 1_{N_J \times N_J}) \quad (5)$$

ここで、 0_* 及び 1_* は下付き文字で示されるサイズのゼロ行列及び単位行列である。

【 0 0 3 6 】

バランスコントローラ

【 0 0 3 7 】

図 2 は本発明の一実施例によるバランスコントローラ 2 0 1 の構造を示す。バランスコントローラ 2 0 1 は 2 つの主なコンポーネント、即ちバランスを維持するために簡易モデルへの入力を計算するように構成されたレギュレータ 2 0 1 a と、測定に基づいて現在の状態を推定するように構成されたオブザーバ 2 0 1 b とからなる。簡易モデルは（例えばヒューマノイドロボットの）動力学を表す限り、任意のものをを用いてバランスコントローラ 2 0 1 を設計することができる。代表的な例は線形倒立振子であり、レギュレータ 2 0 1 a はこのモデルに対してポール配置又は最適制御により容易に設計することができる。

【 0 0 3 8 】

基準状態及び測定された入力に基づく簡易モデルの現在状態の推定に関するいくつかの詳細を与えるために、非限定例を以下に示す。簡易モデルは線形であり、状態 - 空間微分方程式：

【 数 1 】

$$\dot{x} = Ax + Bu \quad (6)$$

$$y = Cx \quad (7)$$

で表される。ここで、 x は簡易モデルの状態、 u は入力、 y は出力である。また、バランスのための状態帰還コントローラは次のように設計されているものとする。

$$u = K(x_{ref} - x) \quad (8)$$

ここで、 K は一定の利得行列であり、 x_{ref} は代表的には基準動作から計算される基準状態である。

【 0 0 3 9 】

20

30

オブザーバ 2 0 1 b は推定及び実際の出力を比較して推定状態 \hat{x} を、

$$\dot{\hat{x}} = A\hat{x} + Bu + F(\hat{y} - y) \quad (9)$$

として更新する。ここで、F はオブザーバ利得、 $\hat{y} = C\hat{x}$ は推定出力である。実状態はアクセスできないため、方程式 (8) において状態 x はその推定値 \hat{x} と置き換えられ、

$$u = K(x_{ref} - \hat{x}) \quad (10)$$

になる。方程式 (6)、(7)、(9) 及び (10) を用いると、推定状態及び新しい入力 $u_b = (x_{ref}^T y^T)^T$ の下記のシステムが得られる。

$$\dot{\hat{x}} = A_b \hat{x} + B_b u_b \quad (11)$$

ここで、

$$A_b = A - BK - FC$$

$$B_b = (B - F)$$

【 0 0 4 0 】

方程式 (11) は簡易モデルの現在状態を基準状態及び測定出力に基づいて推定する方法を記述している。推定状態及び方程式 (10) により計算される簡易モデルへの入力をトラッキングコントローラ 1 0 2 への入力として使用することができる。

【 0 0 4 1 】

倒立振り子例

【 0 0 4 2 】

ここでは、簡易モデルとして線形倒立振り子を用いるバランスコントローラ（例えば図 2 に示すバランスコントローラ 2 0 1）の一例が提示される。図 3 を参照すると、2 つのアクティブ線形関節（それらの位置及びアクチュエータ力は (x, y) 及び (f_x, f_y) で表されている）と、2 つの不作動関節（それらの関節角度は θ_1 及び θ_2 である）と、質点 m が示されている。線形関節の位置及び質点は全身モデルの C O P 及び C O M にそれぞれ対応する。線形化後に、この倒立振り子は関節 (x, θ_1) 及び (y, θ_2) を有する 2 つの独立の平面振り子として取り扱うことができる。従って、説明用の例として (x, θ_1) を有する振り子を用いる。

【 0 0 4 3 】

その状態は線形倒立振り子の入力及び出力ベクトルで次のように規定される。

【数 2】

$$x = (x \ \theta_1 \ \dot{x} \ \dot{\theta}_1)^T \quad (12)$$

$$u = f_x \quad (13)$$

$$y = (x \ \theta_1)^T \quad (14)$$

【 0 0 4 4 】

質点の x 座標が の代わりに出力として使用される点に注意されたい。 f は倒立振子への実際の入力であるが、全身モデルには対応する入力はない。代わりに、全身モデルの COP はどこにあるべきかを示す x が所望の入力として使用される。所望の入力の他の可能な例は、簡易モデルが 2 重倒立振子のようにアクティブ回転関節を含む場合には、代表的な関節のトルクを含む。

【 0 0 4 5 】

この倒立振子モデルの基準状態は

$$x_{ref}^T = (x_{rc} \ 0 \ 0 \ 0)^T$$

であり、ここで x_{rc} は基準関節角度から計算される COM 位置の x 座標である。測定出力 y は実際の COP 及び COM 位置の x 座標からなる。

【 0 0 4 6 】

次に、レギュレータが倒立振子に対して設計される。ここでは LQR を使用し、以下のコスト関数が最小化されるように状態帰還利得 K を決定する。

【 数 3 】

$$J = \int_0^\infty (x^T Q x + u^T R u) dt \quad (15)$$

ここで、 $Q \geq 0$ 及び $R > 0$ は対称加重行列である。加重行列は妨害に対する応答を観測することによって容易に決定できる。例えば、加重は、可能な最大外部力が供給されたときに所望の COP が接触域から出ないように決定することができる。

【 0 0 4 7 】

トラッキングコントローラ

【 0 0 4 8 】

図 4 は本発明の一実施例によるトラッキングコントローラ 402 の構造を示す。トラッキングコントローラ 402 は 2 つの局部コントローラ 402 a , 402 b と、関節トルク最適化モジュール 402 c とからなる。

30

【 0 0 4 9 】

局部コントローラ

本発明のいくつかの実施例によれば、局部コントローラ 402 a , 402 b は、関節及び接触リンクの所望の加速度を基準及び現在の位置及び速度並びに基準加速度に基づいて計算する。関節コントローラ 402 a において、所望の

加速度 $\hat{\ddot{q}}$ が各関節で次のように計算される。

$$\hat{\ddot{q}} = \ddot{q}_{ref} + k_d(\dot{q}_{ref} - \dot{q}) + k_p(q_{ref} - q) \quad (16)$$

ここで、 q は現在の関節位置、 q_{ref} はキャプチャデータ内の基準関節位置、 k_p 及び k_d は関節毎に相違し得る一定の位置利得及び速度利得である。

【 0 0 5 0 】

根関節の位置及び向きは加速度計及びジャイロセンサによって又は少なくとも一方の足が床の上にあると仮定して運動学を計算することによって入手できるものとすることができる。それゆえ、根関節の所望の線及び角加速度を計算し、すべての所望の関節加速度と合成して所望の加速度ベクトル

$\hat{\mathbf{q}} \in \hat{\mathbf{A}}^{N_g}$ を形成することができる。制御法則 (16) は、根関節が駆動されないこと及び所望の加速度は最適化部（後で説明される）により修正され得ることを除いて、分解加速度制御に使用されるものと同じである。足を滑らさずに、できれば所望の接触状態を実現するために、同じ制御法則を用いて所望の足加

速度 $\hat{\mathbf{f}}_c \in \hat{\mathbf{A}}^{6N_c}$ も計算することができる。

【0051】

最適化器

【0052】

最適化器 402c のタスクは、これまで得られた情報 $\hat{\mathbf{q}}, \hat{\mathbf{f}}_c$ 及びバランスコントローラ 201 により得られた簡易モデルへの所望の入力に基づいて制御入力を計算することにある。しかし、殆どの場合、これらの状態は互いに競合する。そのゆえ、これらの量のすべてを尊重する一組の関節トルクを計算するために最適化が実行される。

【0053】

最適化の未知量は関節トルク \mathbf{t} 及び接触力 \mathbf{f} である。最適化すべきコスト関数は、

$$Z = Z_s + Z_q + Z_c + Z_t + Z_f \quad (17)$$

であり、5つの項の各々は以下の段落で詳細に説明される。

【0054】

項 Z_s は簡易モデルへの所望の入力からの誤差に対処するものである。簡易モデルから全身モデルへのマッピングは任意の形でできるため、ここではこのようなマッピングの2つの例、即ち圧力中心 (COP) 及び代表的関節のトルクのマッピングを考察する。この場合、コスト関数 Z_s はこれらの量と関連する誤差の和になる。即ち、

$$Z_s = e_{cop} + e_t \quad (18)$$

【0055】

最初に、所望の入力がCOPの所望の位置 $r_p = (r_{px} \ r_{py} \ 0)^T$ を含む場合を考える。COP誤差は、

$$e_{\text{COP}} = \frac{1}{2} f_c^T P^T W_p P f_c \quad (19)$$

と表せる。ここで、Pは f_c を所望のCOPの周りの合成モーメントへマップする行列であり、次のように計算することができる。最初に、個々の接触力からワールド原点の周りの総合接触力及びモーメントをカバーする行列

$T \in \mathbb{R}^{6 \times N_c}$ を、

$$T = (T_1 \ T_2 \ \dots \ T_{N_c}) \quad (20)$$

及び

$$T_i = \begin{pmatrix} 1_{3 \times 3} & 0_{3 \times 3} \\ [p_i \times] & 1_{3 \times 3} \end{pmatrix} \quad (21)$$

によって得る。ここで、 p_i は i 番接触リンクの位置であり、 $[a \times]$ は3次元ベクトル a の外積行列である。次に、下記の行列：

$$C = \begin{pmatrix} 0 & 0 & r_{py} & 1 & 0 & 0 \\ 0 & 0 & -r_{px} & 0 & 1 & 0 \end{pmatrix} \quad (22)$$

を乗算することによって $P = CT$ を生じさせ、総合力／モーメントをCOPの周囲の合成モーメントに変換する。

【 0 0 5 6 】

所望の入力が N_r 個の代表的関節のトルクを含む場合、 $f_r \in \mathbb{R}^{N_r}$ は取るに足らない。

$R \in \mathbb{R}^{N_r \times N_c}$ が t_j から代表的関節のトルクを抽出する行列であるとしよう。誤差は、

$$e_r = \frac{1}{2} (f_r - R t_j)^T W_r (f_r - R t_j). \quad (23)$$

と書き表せる。

【 0 0 5 7 】

項 Z_q は所望の関節加速度からの誤差を示し、

【数 4】

$$Z_q = \frac{1}{2}(\hat{\ddot{q}} - \ddot{q})^T W_q (\hat{\ddot{q}} - \ddot{q}). \quad (24)$$

である。

【0058】

項 Z_c は所望の接触リンク加速度からの誤差を示し、

【数 5】

$$Z_c = \frac{1}{2}(\hat{\ddot{r}}_c - \ddot{r}_c)^T W_c (\hat{\ddot{r}}_c - \ddot{r}_c). \quad (25)$$

である。

【0059】

項 Z_t は、

$$Z_t = \frac{1}{2}(\hat{t}_J - t_J)^T W_t (\hat{t}_J - t_J) \quad (26)$$

と書き表され、ここで、 \hat{t}_J は関節トルクに対する基準であり、典型的にはゼロベクトルに設定され、従って Z_t は関節トルクに対して減衰項として作用する。

【0060】

項 Z_f は接触力に対して同様の役割を有し、

$$Z_f = \frac{1}{2}(\hat{f}_c - f_c)^T W_f (\hat{f}_c - f_c) \quad (27)$$

であり、ここで \hat{f}_c は基準接触力であり、同様に典型的にはゼロベクトルに設定される。

【0061】

コスト関数は方程式 (2) 及び (4) を用いて次の二次方程式：

$$Z = \frac{1}{2}y^T A y + y^T b + c \quad (28)$$

に変換することができ、ここで、 $y = (t_J^T - f_c^T)^T$ は未知のベクトルである。

【0062】

最適化問題は解析解：

$$y = -A^{-1}b$$

(29)

を有する。

【 0 0 6 3 】

接触力及びハードウェア限界の考察

【 0 0 6 4 】

今まで、任意の接触力が得られると仮定してきた。しかし、実際には、 x 及び y 軸の周囲の摩擦及びモーメントは制限を有する。実際のハードウェアも関節角度、速度及びトルクに制限を有する。これらの制限を実行するために不等式制約を付加することができるが、最適化問題を解くには単に方程式 (2 9) を用いる場合よりかなり長い時間がかかることになる。

【 0 0 6 5 】

これらの制限は、本発明の実施例によれば、制約を付加する代わりに最適化のパラメータを調整することによって、従って解 (2 9) を変更することなく、処理される。制限が必ずしも満たされるわけではない場合には、バランスコントローラは近似値と正確な解との差を補償できることが期待される。

【 0 0 6 6 】

接触力制限に対しては、摩擦及びモーメントに対応する W_f の要素に対して大きな値が設定される。関節トルク限界に対処するために、方程式 (2 6) で用いられている基準関節トルクを利用する。関節トルクのどれかがサンプリング時に限界値を超える場合には、対応する基準トルクが次のサンプリング時に限界値に設定され、加重を増大する。それゆえ、トルクが限界値で飽和されても、過剰トルクは比較的小さく、従って僅かな影響となることが予想される。

【 0 0 6 7 】

シミュレーション結果

【 0 0 6 8 】

本発明の所定の実施例を評価するために、鋼体接触モデルを備えた動力学シミュレータをシミュレーションに使用し、その精度をいくつかのシミュレーション設定に対して証明した。シミュレーションのためにヒューマノイドロボットを使用した。ロボットは全部で 3 4 の関節 (手及び眼のパン / チルトは除く) を有し、これらの関節 (首及び手首の D O F は固定) のうちの 2 5 の関節を本発明の種々の実施例の性能の非限定例としてここに記載する評価のために使用した。

【 0 0 6 9 】

関節運動学及び慣性パラメータは C A D モデルから導出した。関節速度限界に対する設計仕様に加えて、実験的に検証した関節動作範囲及び関節トルク限界情報を使用した。関節動作範囲制約は逆運動学計算中に実行したが、関節動作範囲はシミュレーションに考慮されてない (関節は基準軌道を十分良好に追跡するものと仮定した) 。関節速度が限界値に近づくと、速度を下げるために強い減衰トルクが付加された。最適化された関節トルクが限界値を超えると、シミュレータが関節加速度を計算する前にこのトルクは最大値にリセットされた。

【 0 0 7 0 】

L Q R コスト関数 (1 5) に対する加重は、

$$Q = \text{diag}\{1.0 \times 10^7 \ 1.0 \times 10^8 \ 1.0 \times 10^2 \ 1.0 \times 10^3\}$$

$$R = 1.0$$

であり、これらは C O P が大きな衝撃に対して接触域から出ないように選択された。オブザーバ利得は、推定状態が閉ループの極に比較して十分に速く収斂されるように選択した。関節及び接触リンク追跡のための帰還利得は、他に言及しない限り、 $k_p=4.0$ 及び $k_d=4.0$ とした。コスト関数に対して選択されたすべての加重は、 W_t 及び W_c を除いて、すべての対角要素が 1 とした。 W_t の対角要素はデフォルトにより 0 に設定され、関節トルクが限界値を超えたとき、対応する値が 1 に変化した。 W_c の対角要素は垂直力及び他の力に対してそれぞれ 1.0×10^5 及び 1×10^7 に設定した。

【 0 0 7 1 】

10

20

30

40

50

倒立振子モデルによる簡単なバランシング

【0072】

ここでは最初に固定の姿勢を基準として用いてバランスコントローラ201の基本機能を実証する。ロボットは、初期姿勢を維持しようとしながら首関節に $t = 1 \sim 1.1$ 秒の間250Nの力を受けた。参照用に、僅かに異なるバージョンのコントローラ100、即ちバランスコントローラが同じ帰還/フィードフォワードコントローラ(16)及び同じ利得でCOM位置を元の位置へ戻すための所望のCOM加速度を計算する簡単なCOM位置コントローラと置き換えられたコントローラを使用した。この場合、最適化器402cは所望のCOP位置の変わりに所望のCOM加速度に対応する。2つのコントローラは同じ関節及び接触リンク追跡コントローラを共有する。

10

【0073】

図5は2つのコントローラから得られるロボットの順方向のCOM位置を示す。本発明の一実施例によるコントローラはロボットを首尾よく元の姿勢に戻した。他方、COMコントローラバージョンは本発明によるコントローラよりかなり早くCOMを停止させたが、ロボットは最終的に後ろに倒れた。その理由は、COMコントローラバージョンはCOM動作を止めることができるが、そのアクションは上半身の前方への急速動作を犠牲にし、上半身の回復動作の補償を得ることができないことにある。この誤差は関節及びCOM帰還利得を調整することによって修正できる可能性がある。

【0074】

提案のコントローラ及びCOMコントローラバージョンによるCOP位置がそれぞれ図6及び図7に示されている(重要部分を強調するために図5に比較して異なる時間スケール(2秒)を使用している)。図6において、所望のCOP及び最適化COPは殆ど同一であり、実際のCOPも極めて近似している。図7にも、所望のCOP位置、最適化COP位置及び実際のCOP位置が示されている。ここで、所望のCOPを考慮しなければ、実際のCOPもCOMに負の加速度を与えるために前方に動くが、動作は結局全システムを平衡させるために多大な制御を使用しなければならなくなるほど速くなる。

20

【0075】

モーションキャプチャ基準の追跡

【0076】

本発明の特定の実施例のロボット動作追跡性能を評価するために、関節追跡能力が重要であるストーリーテリング動作を使用した。CMUモーションキャプチャデータライブラリから保育テーマ「私は小さなティーポット」を演ずる2人のアクタのモーションキャプチャクリップを入力としてランダムに選択した。コントローラは元の(対象の)動作(図示せず)の姿勢を保存するロボット動作を再現することができた。

30

【0077】

妨害の例：質量パラメータの誤差

【0078】

本発明の一実施例によるシミュレーションモデルの慣性パラメータを、(ワイヤなどの小部分及び油圧ロボットにおけるシリンダや管内の油の有意の質量を一般に無視する)CADモデルを用いることによるモデル化誤差をエミュレートするために動揺させた。各リンクの質量及び慣性はシミュレーションモデルにおいて5~15%のランダム比だけ増大させた。制御のための基準モデルは同じままにした。推定接触力は常に実際の力より小さいため、ロボットは元の利得($k_p = 4.0$, $k_d = 4.0$)で立ち続けることはできない。しかし、図11に示すように、利得を増大させて $k_p = 16.0$, $k_d = 8.0$ を維持することによって類似の動作を首尾よく発生させることができた。

40

【0079】

従って、本発明の実施例はフローティングベースのヒューマノイドロボットがバランスの維持とモーションキャプチャデータの追跡を同時にできるようにする新しいフレームワークを提供する。コントローラ100はロボット103の簡易動力学モデルに対して設計されたバランスコントローラ101と個々の関節に対するトラッキングコントローラ10

50

2を組み合わせる。最適化器402cは、バランス及びトラッキング用の両コントローラ101及びコントローラ102の出力を尊重してロボット103が基準関節軌道をトラッキングしながらバランスを維持できるような関節トルクを得る。

【0080】

評価/シミュレーションと関連して説明したように、バランスコントローラ101は種々のタイプの外乱、例えば簡易動力学及び全身動力学間の差、慣性パラメータ誤差、バランスコントローラ101に未知の関節動作及び外部力に対処できる。一般に、倒立振子モデル及び簡単なCOM帰還制御は質的に同等のCOP位置を生じる。しかし、最適な帰還利得を決定することは難しく、誤った利得選択が不所望の挙動を生じる。従って、状態帰還コントローラを倒立振子モデルに対して設計することができる。

10

【0081】

更に、モーションキャプチャデータは対象とヒューマノイドモデルとの間の不可避の不一致のために誤りを生じやすく、動作の間中所望の接触状態が満足されるようにするために前処理が通常必要とされる点に注意すべきである。対照的に、本発明の実施例によるコントローラ100は(小さな帰還利得により関節を足の微小なミスアリメントに調整するために)殆ど前処理を必要としない。更に、前処理はリアルタイムで実行するのに十分に簡単である。

【0082】

ロボットに対する足踏みを含む動作データのコントロール - アウェアマッピング

【0083】

説明をロボットに対する足踏み動作を含むモーションキャプチャデータ(例えばヒューマンモーションキャプチャデータ)のコントロール - アウェアマッピングが与えられる本発明の実施例に戻す。本発明の実施例は、現在の状態及びコントローラの挙動を考慮して、足踏み動作を含むモーションキャプチャデータをモデルにマップする。動作が追跡されるとともに所望の接触状態が達成されるように関節角度、体幹部及び重心(COG)軌道を修正するマッピングプロセスが説明される。

20

【0084】

第1のステップは、関節角度及び体幹部軌道をロボット運動学及び実際の接触足位置に適応するように修正する。第2のステップは予測圧力中心(COP)を用いてバランスコントローラがロボットのバランスを首尾よく維持できるか決定し、できない場合にCOM軌道を修正する。ヒューマノイドモーション合成のための既存のアプローチと異なり、提案のマッピング方法はロボットコントローラと密に関連している。このアプローチは、ここで検討されているように、例えば体系化されてない接触状態変化を含む太極拳の動作シーケンスと関連する非限定例を用いてシミュレーションにより検証されている。

30

【0085】

現在のロボット状態及び接触状態ならびにロボットコントローラの挙動を考慮するオンラインモーションマッピング技術が以下で検討される。もっと詳しく言うと、同時のバランス及びトラッキング制御に一般に関連する上記の説明は、バランスコントローラが圧力中心(COP)をモーションの間中接触凸包内に維持しながらバランスをうまく維持できるように関節角度、体幹部及び重心(COG)軌道を調整する機能の付加によって補足される。提案の方法は体系化されてない接触状態変化を有する動作を全身動力学シミュレーションによってうまく実現することができる。

40

【0086】

本発明の実施例は、モーション合成とロボット制御が別々に処理されるヒューマノイド制御における既存の研究と相違する。本発明の実施例によるコントローラフレームワークにおいては、モーション合成と制御コンポーネントが、現在状態と基礎コントローラを承知したマッピングプロセスによって密に関連している。

【0087】

図8に示されるように、本発明の一実施例による追跡及びバランス制御は、本質的に、基準入力を受信し、前処理(マッピング)を適用し、その後バランス及びトラッキングコ

50

ントローラを使用し、基準入力を追跡できるようにロボット関節に適切なトルクを供給する。例えば、モーションキャプチャシステムからの基準動作データが 8 1 0 で受信され、前処理される。受信動作データを前処理するために、運動学的マッピング 8 2 0 及び動力学的マッピング 8 3 0 が以下に更に論じるように適用される。その後、前処理された基準動作データが、所定の帰還入力（例えば、現在の接触位置）と一緒に、バランス制御 8 4 0 及び追跡制御 8 5 0 のために使用され、これによりロボットはバランスを維持しながら基準動作データを適切に追跡するようにその関節を動かすことができる。

【 0 0 8 8 】

図 9 を参照すると、足踏み動作に対してコントロール - アウェアマッピングを提供する本発明の実施例は、上述したコントローラ 1 0 0 （バランスコントローラ 1 0 1 及びトラッキングコントローラ 1 0 2 を備える）に類似のコントローラ 9 0 0 を用いる。コントロール - アウェアマッピングを用いる実施例により導入される主な差異は、ロボット 9 0 3 で類似の動作を実現するために基準動作（モーションクリップ）9 0 4 にいくつかのタイプの調整を実行する前処理コンポーネント 9 0 5 の追加にある。

【 0 0 8 9 】

図 1 0 (a) (c) は足踏み動作に対して制御アウェアマッピングを用いる本発明の実施例の動作例を示す。ロボット 1 0 0 3 (a) (c) は、図 1 0 (a) に示す初期姿勢から出発して一方の足を上げようとしているものと仮定する。脚関節角度を変化させただけでは、COM は足の中心に位置したままであるが COP は支持脚の下に移動するため、図 1 0 (a) に示すようにロボット 1 0 0 3 (a) は転倒する。

【 0 0 9 0 】

足を首尾よく上げるためには、図 1 0 (b) に示すように、ロボット 1 0 0 3 (b) は最初に COP を動かすことによって COM を支持脚の方へ移動させなければならない。しかし、図 1 0 (c) に示すように COM オフセットが大きすぎてバランスコントローラにより処理できない場合には、ロボット 1 0 0 3 c はバランスを維持することはできない。この例は 2 つの重要な観察、即ち (1) マッピングプロセスは接触状態の変化に対する準備を該変化が実際に起こる前に開始させる必要があること及び (2) マッピングプロセスは適切な調整量を決定するためにコントローラ 9 0 0 の能力を知っている必要があることを暗示している。

【 0 0 9 1 】

図 9 は本発明の一実施例によるコントローラを示す。図 1 に示すコントローラ 1 0 0 は無修正のモーションシーケンスを基準として取った。図 9 に示すコントローラフレームワークにおいては、モーションクリップ 9 0 4 を最初に 2 つのマッピングコンポーネント 9 0 5 (a b) によって、ロボット 9 0 3 が COM 及び COP 位置の現在測定値を用いてバランスコントローラ 9 0 1 でバランスを維持できるように処理することができる。動力学的マッピングコンポーネント 9 0 5 b は、バランスコントローラ 9 0 1 の挙動を予測するためにバランスコントローラ 9 0 1 のコピーも有する。

【 0 0 9 2 】

前処理(マッピング)コンポーネント 9 0 5 は運動学的コンポーネント 9 0 5 a 及び動力学的コンポーネント 9 0 5 b を含む。運動学的マッピングコンポーネント 9 0 5 a は現在の接触位置を用いて、元の関節角度及び体幹部の軌道を、接触域とロボット 9 0 3 との間の運動学的関係が基準動作（所望のフォーム、例えばモーションクリップ 9 0 4 ）に似るように修正する。動力学的マッピングコンポーネント 9 0 5 b は、簡易ロボットモデルにより予測される将来の COP 位置が接地凸包から出る場合に、バランスコントローラ 9 0 1 に与えられる規準 COM の軌道を修正する。

【 0 0 9 3 】

ここでは元の基準動作 9 0 4 について以下のように仮定する。即ち、(1) 初期フレームでは（基準）対象の両足が床に平らに接触している。他のフレームでは任意の接触状態が許される。(2) 対象は足を介して水平な床と物理的相互作用を行うのみである。(3) フレーム毎に少なくとも片足が床と接触する。(4) フレーム毎に接触するリンクの組が既知であ

る。接触は初期フレームを除いて平らにする必要はなく、使用する接触状態情報（つま先又はかかと接触など）も詳述する必要がない。

【0094】

バランス及びトラッキングコントローラ

【0095】

足踏み動作と関連する本発明の実施例に使用されるバランスコントローラ901及びトラッキングコントローラ902を以上に十分に検討したが、（例えば足踏み動作と同様に）可動台を考慮するためにこれらを簡単に再検討し、明らかにする。

【0096】

バランスコントローラ901は入力として基準COMを取り、簡易ロボットモデルに対して設計された最適コントローラを用いて(所望の)COPの位置を決定する。ここでは、最適コントローラは図3に示されるような可動台を有する3次元、2関節の倒立振子に対して設計されているものと仮定する。このモデルでは、全ロボット本体がロボット903のCOMに位置する質点により表され、可動台の位置がCOPを表す。

【0097】

現在状態を推定するために最適コントローラをオブザーバと組み合わせると、

全バランスコントローラ901は方程式(11)で記述され、ここで \hat{x} は倒立振子の推定状態であり、 u_b はバランスコントローラ901の入力であり、この入力は基準COM位置及び測定COM及びCOP位置を含む。トラッキングコントローラ902において、 \hat{x} の可動台位置要素が所望のCOP位置として使用される。

【0098】

トラッキングコントローラ902は最初に、分解加速度制御(方程式(16))と同じ帰還及びフィードフォワード方法を用いて、所望の関節及び体幹部加速

度 \hat{q} を計算する。ここで、 q は現在関節位置、 q_{ref} はキャプチャデータの基準関節位置、 k_p 及び k_d は関節毎に相違し得る一定の位置利得及び速度利得である。所望の加速度も同じ制御方法を用いて体幹部及び足リンクの6つの自由度(DOF)に対して計算される。

【0099】

トラッキングコントローラ902は次にCOP、関節加速度及び足加速度誤差を含むコスト関数を最適化する関節トルクを得るために最適化問題を解く。

【0100】

運動学的マッピング

【0101】

運動学的マッピングは、本発明の一実施例によれば、以下に説明するように、マッピングモジュール905aを用いて達成される。運動学的マッピングの本質的要素は(上述した)関節角度マッピング及び以下に更に説明する体幹部軌道マッピングを含む。

【0102】

モーションキャプチャデータの基準体幹部位置及び向きを基準接触位置及び実際の接触位置の差を考慮するようにグローバルに変換する調整が行われる。足は制御誤差のために基準位置に着地できないかもしれない。このような場合に、同じ基準位置を体幹部に対し

10

40

50

て用いると、接触域に対するその位置の差のために転倒することになる。

【 0 1 0 3 】

そこで、本発明の一実施例は、新しい接触が確立される度に、平行移動、回転及びスケーリングを体幹部軌道に適用する。図 1 1 は各変換を決定するために使用するパラメータを要約している。最初に、(単に全接触点の平均取ることによって) 基準及び実際の接触凸包の中心：

$$\hat{c} = \frac{1}{M} \sum \hat{p}_i \quad (30)$$

$$c = \frac{1}{M} \sum p_i \quad (31)$$

が計算される。ここで、 \hat{c} 及び c はそれぞれ基準及び実動作の接触凸包の中心であり、Mは接触点の数であり、 \hat{p}_i 及び p_i は基準及び実動作の i 番接触点の位置である。

【 0 1 0 4 】

次に、それらの中心に対する接触点位置の主成分解析が行われる。 $\hat{\theta}_1$ 及び θ_1 は最初のフレームの x 軸に対する第 1 の主成分軸の角度を示すものとする。

また、 \hat{s}_i 及び s_i (i=1,2)

は基準及び実接触点の特異値を示す。

【 0 1 0 5 】

基準体幹部位置 \hat{P} 及び向き \hat{R} の対に対して、変換された位置 p 及び R は次のように得られる。

$$p = \Omega S(\hat{p} - \hat{c}) + c \quad (32)$$

$$R = \Omega \hat{R} \quad (33)$$

ここで、

$$S = \begin{pmatrix} s_1/\hat{s}_1 & 0 & 0 \\ 0 & s_2/\hat{s}_2 & 0 \\ 0 & 0 & 1 \end{pmatrix} \quad (34)$$

及び Ω は垂直軸を中心とする $\theta_1 - \hat{\theta}_1$ の回転を表す回転行列である。

【 0 1 0 6 】

変換は接触が確立されるときにのみ更新される点に注意されたい。足が接触状態でまだ動く可能性があるときに変換が更新された場合、トラッキングコントローラ 9 0 2 は接触位置を変換の更新と同じ方向に動かすため、正帰還が与えられる。それゆえ、変換は、接触状態の各リンクの垂直接触力が基準動作における接触状態の変化後に大きなしきい値を超えるときにのみ更新するのが好ましい。

【 0 1 0 7 】

動力的マッピング

【 0 1 0 8 】

本発明の一実施例は、バランスコントローラ 9 0 1 が与えられた接触域でロボット 9 0 3 をバランスした状態に維持できるように基準動作の COM 軌道を修正する。このマッピングプロセスは、現在のロボット状態と元の基準 COM 軌道とに基づいて将来の COP 位置を予測する。COP が接触凸包から出る場合には、COP が接触凸包内にとどまるように新しい COM 軌道を計算し、次の COM 位置をバランスコントローラ 9 0 1 に基準 COM として送る。

【 0 1 0 9 】

一般に図 1 2 を参照して、修正された COP 位置を得る方法が以下に説明される。方程式 (1 1) と同じ最適コントローラに基づいて、バランスコントローラ 9 0 1 の離散化状態方程式モデル：

$$x_{k+1} = A x_k + B u_k \quad (3 5)$$

が得られる。ここで、 x_k は状態であり、 u_k はサンプリング時刻 k における入力である。バランスコントローラ 2 0 1 (1 1) と異なり、ここでは実測値は使用されないためコントローラモデル (3 5) はオブザーバを含まない。従って、 u_k は基準動作の COM 軌道を含むのみである。COP 位置が出力として選択され、その結果出力方程式は：

$$y_k = C x_k \quad (3 6)$$

と規定される。

【 0 1 1 0 】

所定の初期状態 x_0 及び次の n フレームに対する COM 軌道

\hat{u}_k ($k=0,1,\dots,n-1$) に対して、 n フレーム後の COP の位置は、

$$\hat{y}_n = C(A^n x_0 + M_n \hat{U}_n) \quad (37)$$

により予測することができる。ここで、

$$M_n = (A^{n-1}B \ A^{n-2}B \ \dots \ B) \quad (38)$$

$$\hat{U}_n = \begin{pmatrix} \hat{u}_0 \\ \hat{u}_1 \\ \vdots \\ \hat{u}_{n-1} \end{pmatrix}. \quad (39)$$

次に、基準関節角度を用いて \hat{y}_n が当該フレームの接触凸包内に位置するかどうかの検査が行われる。実際には、 n に対して最大値 N が選択され、この値が最大ルックアヘッドを決定するために使用される。

【 0 1 1 1 】

\hat{y}_n がフレーム n における接触凸包から出ることが検出される場合には、 y_n が接触凸包内にとどまるように基準 COM 軌道が U' に修正される。 U' を得る一つの方法は、下記の最適化問題：

$$U' = \arg \min_U Z \quad (40)$$

を解くものである。ここで、コスト関数は

$$\begin{aligned} Z = & \frac{1}{2}(y_n - y_{ref})^T (y_n - y_{ref}) \\ & + \frac{1}{2}(U - \hat{U}_n)^T W (U - \hat{U}_n), \end{aligned} \quad (41)$$

である。 y_{ref} は接触凸包内の所望の COP であり、 W は一定の正値加重行列であり、

$$y_n = C(A^n x_0 + M_n U). \quad (42)$$

である。

【 0 1 1 2 】

第 1 項は C O P を選択された点 y_{ref} にできるだけ近づけようとするが、第 2 項は元の C O M 軌道からの偏差にペナルティーを課す。 y_{ref} 及び W の選択は次の段落で検討する。

【 0 1 1 3 】

原理上、 y_{ref} は接触凸包内の任意の点とすることができる。しかし、実際には y_{ref} を決定するために 2 つの課題が考えられる。第 1 に、得られる C O P が y_{ref} に正確にならないかもしれないため、境界からの安全マージンを維持する方がよい。また、C O M 軌道の変化は最小にすべきであるとともに、元の基準動作をできるだけ維持すべきである。両課題を考慮するために、最初に、接触凸包境界上の最近点を予測された C O P, b から得る。接触凸包の中心も計算する。次に、 y_{ref} を、

$$y_{ref} = h b + (1 - h) c$$

により得る。ここで、 $h = h_{max}(N - n)/N$ であり、 h_{max} はユーザ指定の定数である。

b 及び c 間のこの補間により、 y_{ref} は n が大きくなるにつれて c に近づき、これは C O M を短期間で変化させることがより困難になるという観察に基づく。

【 0 1 1 4 】

W は C O M 軌道が元の軌道からどのくらい外れてもよいかを表す。最終フレームで元の C O M 位置へ戻すのが望ましいため、前期フレームに小さい値を与え、後期フレームに大きな値を与えるのが合理的である。本発明の一実施例によれば、 W の i 番対角成分は w_i^2 により計算される（ここで w はユーザ指定の定数である）。

【 0 1 1 5 】

シミュレーション結果

【 0 1 1 6 】

本発明の一実施例によるコントローラ 9 0 0 の有効性は鋼体接触モデル及びフォワード動力学プロセスに基づくシミュレータによって検証した。上述したヒューマノイドロボットのモデルを以下に記載するシミュレーションにも使用した。

【 0 1 1 7 】

バランスコントローラ 1 0 1 と関連して説明したのと同じ線形二次レギュレータを同じパラメータとともに使用した。トラッキングコントローラの帰還利得は $k_p = 2.5$ 及び $k_i = 1.0$ とした。調整コンポーネントに対するパラメータは $N = 100$ 、 $h_{max} = 0.8$ 及び $W = 0.001$ とした。制御システム (35) は 5 ms のサンプリング時間で離散化した。これは、C O M 修正が必要とされるどうかを決定するために動力学的マッピングコンポーネントを 0.5 s 後に調べることを意味する。離散化のためのサンプリング時間は必ずしも制御サイクルと同じにする必要はない。実際には、方程式 (35) のために制御サイクルより大きいサンプリング時間を使用して動力学的マッピングのための計算時間を短縮することができる。

【 0 1 1 8 】

動力学的マッピングの例

【 0 1 1 9 】

最初に、足踏み動作を実現するために動力学的マッピングが必要とされる簡単な例について説明する。基準動作は手作業で生成された簡単な動作であり、この基準動作は、右足が $t = 1.0 \sim 2.0$ 秒の期間中持ち上げられ、その間左足が床に平らに接触しているものである。図 13 の上のグラフは、簡単な右足持ち上げ例に対する基準 C O M (マッピングなし)、基準 C O M (マッピングあり)、実 C O M (マッピングなし) 及び実 C O M (マッピングあり) の各軌道を示す。下のグラフは、実 C O P (マッピングなし) 及び実 C O P (マッピングあり) の各軌道をロボットの側面に沿って示し、正軸が左側を指している。下のグラフの足領域は左足の接触域を示す。下のグラフは、C O P は動力学的マッピングなしでは決して左足に到達しないため、ロボットは (マッピングなしでは) 右足を持ち上げることはできない。他方、マッピングがターンオンされると、持ち上げ時間が C O P 予測ウィンドウ内に入る $t = 0.5$ 秒の時点で基準 C O P が修正され、動力学的マッピングコンポーネント 9 0 5 b はそのとき C O P が左足の下にないことに気づく。C O P は

、新しい基準COMに応答して、最初右足の方へ移動し、これによりCOMが更に左足の方へ追いやられる。COPは最終的には $t = 0.8$ 秒のあたりで左足に到達するため、ロボットは右足を持ち上げることができる。

【0120】

複雑な動作への応用

【0121】

複雑な動作が本発明の実施例により適切に処理されたことを確認するために、CMUモーションキャプチャデータライブラリからの太極拳のモーションキャプチャシーケンスを使用し、非限定例として以下に記載した。マーカー位置データは、関節動作範囲の制約を有する逆運動学プロセスによって関節角度データに変換した。太極拳動作を一例として選択した。それは、太極拳動作は多くの体系化されてない接触状態変化、例えばつま先接触又はかかと接触への移行及び接触したままの足の僅かな移動などを含むためである。シミュレーション動作は複雑な太極拳動作のモーションキャプチャデータを忠実に再現した。

10

【0122】

従って、本発明の一実施例は足踏みなどの複雑な動作を含むヒューマンモーションキャプチャデータをヒューマノイドロボットにマッピングする方法も提供する。注目すべき特徴は、ロボットの異なる運動学及び動力学に正しく対処しうるのみならず、本発明の実施例は現在のロボット及び接触状態並びにバランスコントローラの能力に基づいて調整量を正しく決定することもできる。例えば、シミュレーションにおいて、提案の方法はヒューマノイドロボットに人間の太極拳動作を首尾よくシミュレートさせることができることが証明された。

20

【0123】

当業者は、本発明の実施例は一以上のコンピュータシステムを用いて実現できることが容易に理解されよう。これに関連して、非限定的な模範的コンピュータシステムをここに記載する。

【0124】

図14に示すように、本発明の態様はコンピュータシステム、例えばユーザワークステーション、パーソナルコンピュータ又は他のクライアントデバイスにおいて実行することができる。図14において、代表的なコンピュータシステムは、コンピュータシステムに一般に含まれる、プロセッサ、コントローラなどの処理素子1410及び関連するメモリデバイス1420を含むことができる。更に、コンピュータシステムは種々の被接続装置1430、例えば（ヒューマノイドロボットに組み込まれるオンボードコンピュータシステムとの関連では）ヒューマノイドロボットのような機械的人工エージェントのコンポーネント、例えばセンサ（エンコーダ、ポテンシオメータ、ロードセル、ジャイロ、加速度計など）、他のコンピュータシステムなどに接続することができる。

30

【0125】

これに関連して、記載した本発明の種々の態様は、例えばメモリデバイス1420にアクセス可能な形で格納されたコンピュータプログラム命令（コンピュータプロセッサコードを含む）を実行する処理素子1410によって実行することができる。従って、ここに記載された所定のオペレーションはコンピュータ読み取り可能なプログラム記憶デバイス、例えばメモリデバイス1420に具体的に記憶されたコンピュータプログラム命令を実行することによって実行することができるため、コンピュータシステムは特定の方法で機能向けにすることができることが理解されよう。

40

【0126】

更に、本発明の態様はコンピュータ読取可能なプログラムコードを有する一以上のコンピュータ読取可能な媒体に具体化されたコンピュータプログラムプロダクトの形を取ることができる。

【0127】

一以上のコンピュータ読取可能な媒体の任意の組み合わせを使用することもできる。コ

50

ンピュータ読取可能な媒体はコンピュータ読取可能な信号媒体又はコンピュータ読取可能な記憶媒体とすることができる。コンピュータ読取可能な記憶媒体は、例えば電子、磁気、光、電磁気、赤外又は半導体システム、装置又はデバイスもしくはそれらの任意の適切な組み合わせとすることができるが、これらに限定されない。コンピュータ読取可能な記憶媒体のもっと具体的な例（不完全な表）は次のもの：一以上のワイヤを有する電気接続、ポータブルコンピュータディスク、ハードディスク、ランダムアクセスメモリ（RAM）、リードオンリメモリ（ROM）、消去可能なプログラマブルリードオンリメモリ（EPROM又はフラッシュメモリ）、光ファイバ、ポータブルコンピュータ光ディスク、リードオンリメモリ（CD-ROM）、光記憶デバイス、磁気記憶デバイス、またはそれらの任意の適切な組み合わせを含む。本明細書において、コンピュータ読取可能な記憶媒体は、命令実行システム、装置又はデバイスにより使用される又は関連するプログラムを含む又は格納し得る任意の実現可能な媒体とすることができる。

10

【0128】

コンピュータ読取可能な信号媒体は媒体内に具体化されたコンピュータ読取可能なコンピュータ読取可能なプログラムコードを例えばベースバンドで又は搬送波の一部として有する伝播データ信号を含むものとし得る。このような伝播信号は、電磁気、光又はそれらの任意の組み合わせを含む様々なタイプの何れかとすることができるが、これらに限定されない。コンピュータ読取可能な信号媒体は、命令実行システム、装置又はデバイスにより使用される又は関連するプログラムを伝達する、伝播する又は転送する、コンピュータ読取可能な記憶媒体でない任意のコンピュータ読取可能な媒体とすることもできる。コンピュータ読取可能な媒体に具体化されたプログラムコードは、無線、有線、光ファイバケーブル、RF等又はそれらの任意の適切な組み合わせを含む任意の適切な媒体を用いて伝送できるが、これらに限定されない。

20

【0129】

本発明の態様のためのオペレーションを実行するコンピュータプログラムコードは、Java（登録商標）、C++などのオブジェクト指向プログラミング言語及び"C"プログラミング言語のような慣例のプロシージャプログラミング言語又は屢次のプログラミング言語を含む一以上のプログラミング言語の任意の組み合わせで書き込むことができる。プログラムコードはユーザのコンピュータ（デバイス）で完全に実行する、又はスタンドアロンソフトウェアパッケージとしてユーザのコンピュータで部分的に実行する、又はユーザのコンピュータで部分的に且つリモートコンピュータで部分的に実行する、又はリモートコンピュータで完全に実行することができる。後者のシナリオにおいては、リモートコンピュータはローカルエリアネットワーク（LAN）又はワイドエリアネットワーク（WAN）を含む任意のタイプのネットワークでユーザのコンピュータに接続することができ、この接続は（例えば、インターネットサービスプロバイダを用いるインターネットを介して）外部コンピュータへと行うこともできる。

30

【0130】

本発明の態様は、本発明の実施例による方法、装置（システム）及びコンピュータプログラムプロダクトのフローチャート及び／又はブロック図を参照してここに記載されている。フローチャート及び／又はブロック図の各ブロック又はフローチャート及び／又はブロック図のブロックの組み合わせはコンピュータプログラム命令で実行できる。これらのコンピュータプログラム命令は汎用コンピュータ、専用コンピュータ又は他のプログラマブルデータ処理装置に供給して、コンピュータのプロセッサ又は他のプログラマブルデータ処理装置を介して実行される命令がフローチャート及び／又はブロック図の各ブロック又はブロックの組み合わせに指定された機能／作業を実行する手段を生成するようなマシンを生成することができる。

40

【0131】

これらのコンピュータプログラム命令は、コンピュータシステム、他のプログラマブルデータ処理装置又は他のデバイスを特定の方法で機能するように命令し得るコンピュータ読取可能な媒体に格納し、コンピュータ読取可能な媒体に格納された命令がフローチャー

50

ト及び／又はブロック図の各ブロック又はブロックの組み合わせに指定された機能／作業を実行する命令を含む製品を生成するようにすることもできる。

【 0 1 3 2 】

コンピュータプログラム命令は、一連のオペレーションステップをコンピュータシステム、他のプログラマブルデータ処理装置又は他のデバイスで実行させてコンピュータ実行プロセスを生成するためにコンピュータシステム、他のプログラマブルデータ処理装置又は他のデバイスにロードして、コンピュータシステム、他のプログラマブルデータ処理装置又は他のデバイスで実行する命令がフローチャート及び／又はブロック図の各ブロック又はブロックの組み合わせに指定された機能／作業を実行するプロセスを提供するようにすることもできる。

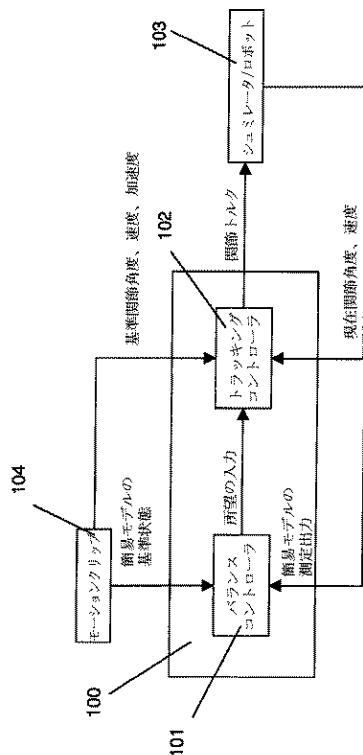
【 0 1 3 3 】

本開示は例示及び説明のためであるが、完全又は限定を意図するものではない。多くの変更及び変形が当業者に明らかである。本発明の原理及び実用化のため及び当業者が意図する特定の用途に適した種々の変更を備える種々の実施例の開示を理解できるように、種々の実施例が選択され記載されている。

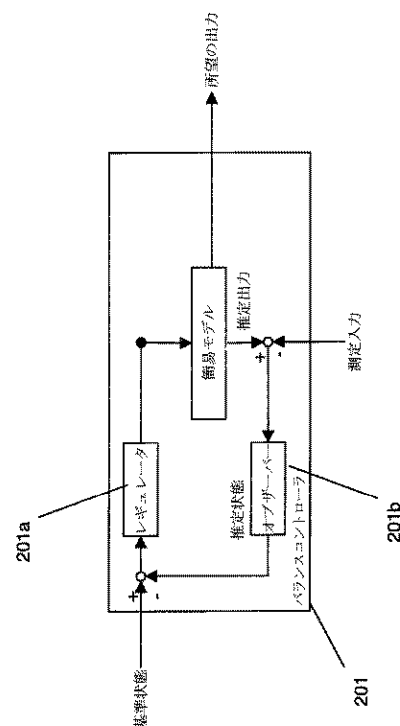
【 0 1 3 4 】

本発明の説明のための種々の実施例を添付図面を参照して記載したが、本発明はこれらの実施例に正確に限定されず、当業者によれば本発明の範囲又は精神から離れることなく種々の変形及び変更を加えることができる。

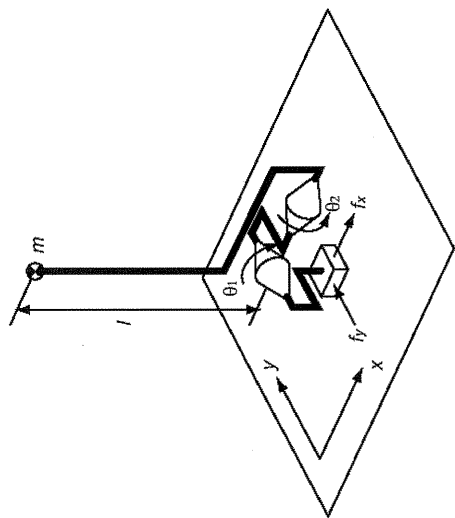
【 図 1 】



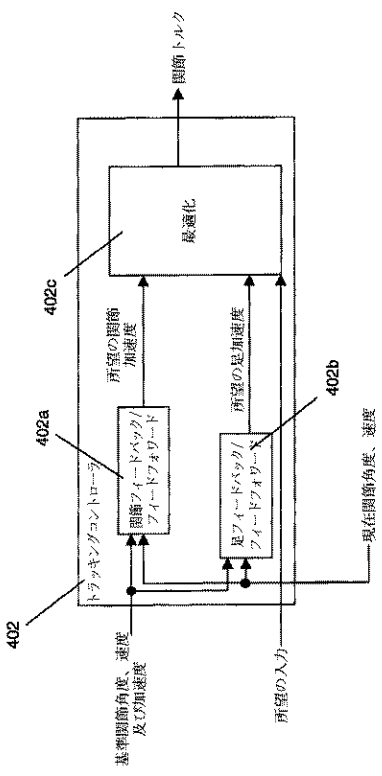
【圖 2】



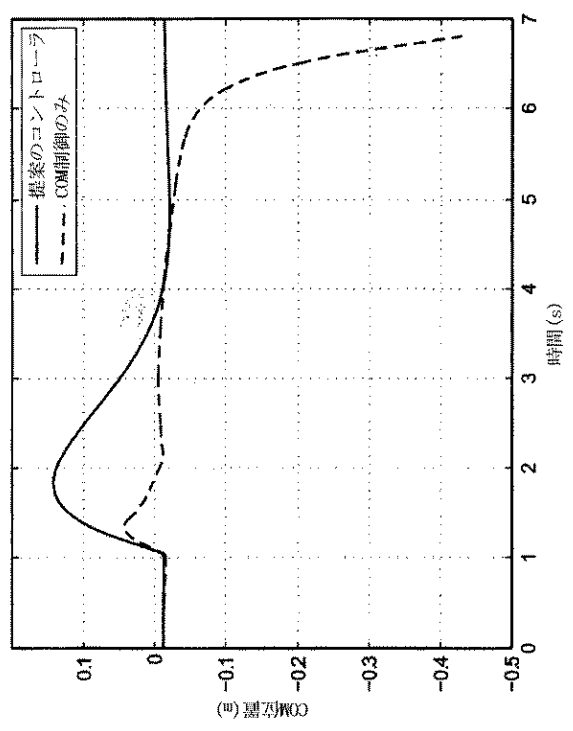
【 図 3 】



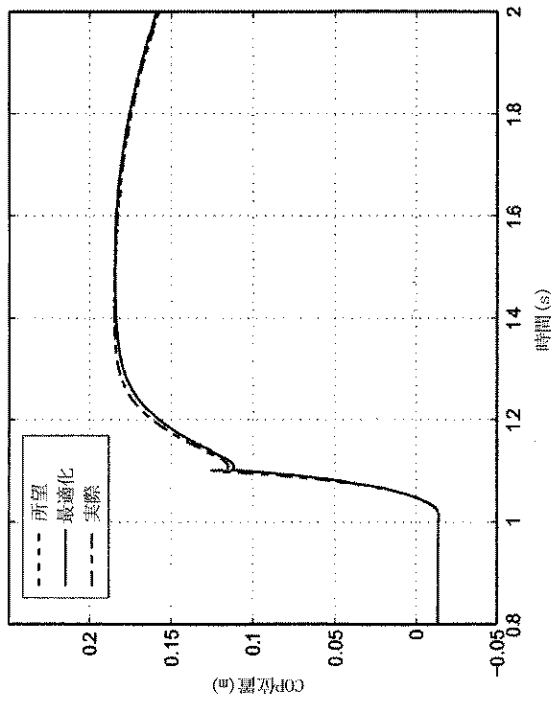
【 図 4 】



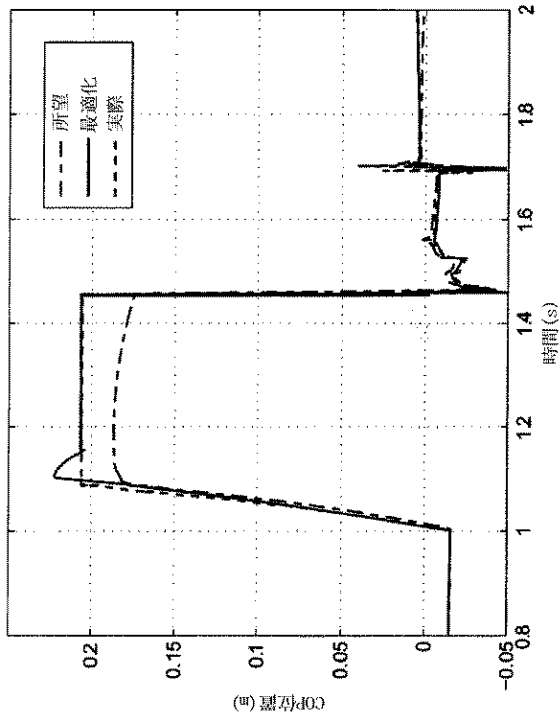
【 図 5 】



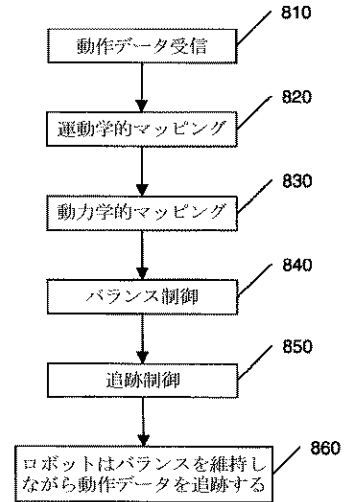
【 図 6 】



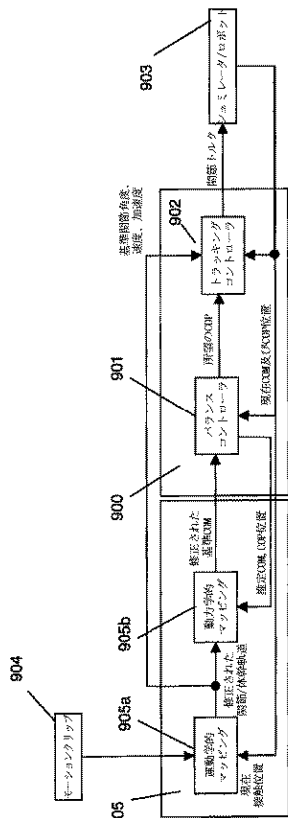
【図 7】



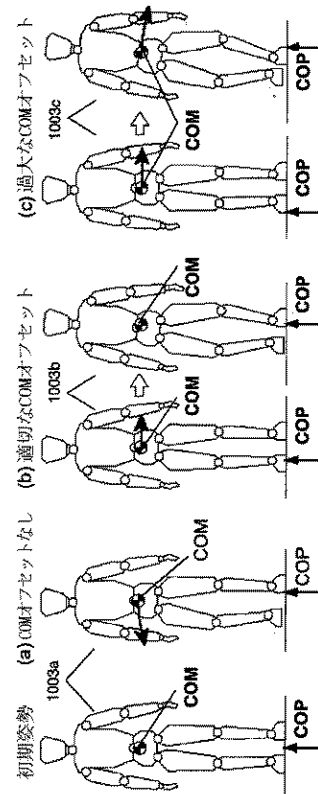
【図 8】



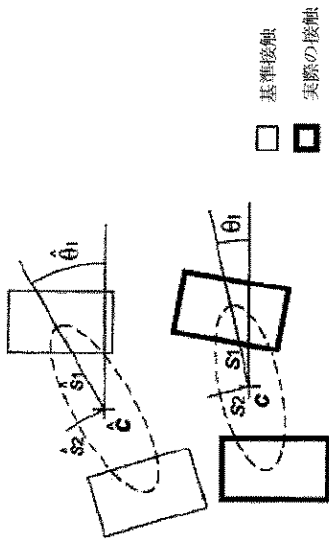
【図 9】



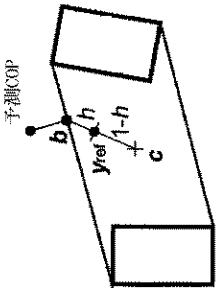
【図 10】



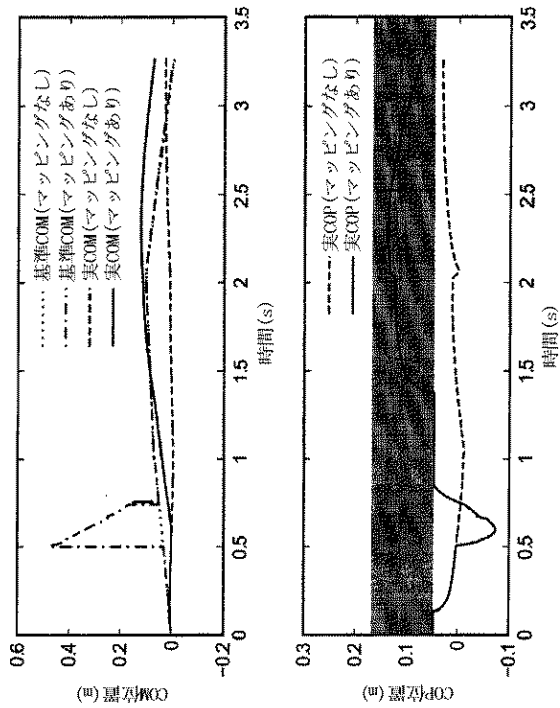
【図 1 1】



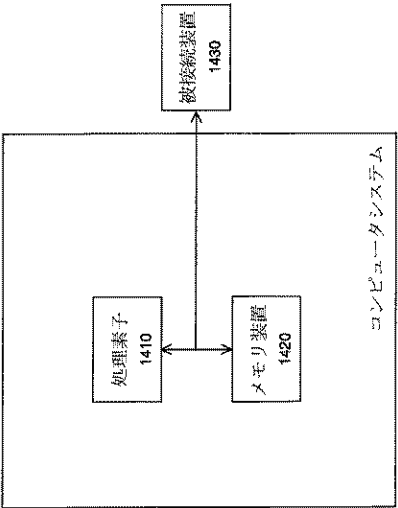
【図 1 2】



【図 1 3】



【図 1 4】



フロントページの続き

(72)発明者 ジェシカ ケー ホッドギンズ

アメリカ合衆国 ペンシルベニア州 1 5 2 1 3 ピッツバーグ フォーブス アベニュー 4 6
1 5

(72)発明者 ヤマネ カツ

アメリカ合衆国 ペンシルベニア州 1 5 2 1 3 ピッツバーグ フォーブス アベニュー 4 6
1 5

F ターム(参考) 3C007 LS05 WA03 WA13 WB05 WB07

【外国語明細書】
2010221395000001.pdf